

05.2; 05.3

© 1992

ОРИЕНТАЦИОННАЯ ДИЭЛЕКТРИЧЕСКАЯ  
ВОСПРИИМЧИВОСТЬ  $\beta$ - И  $\alpha$ -ФАЗ  
ТВЕРДЫХ ЭЛЕКТРОЛИТОВ НА ОСНОВЕ  
ГАЛОГЕНИДОВ МЕДИ И СЕРЕБРА

В.А. Ф е д о р и н

Поведение диэлектрической восприимчивости  $\chi$  вблизи температуры суперионного перехода целого класса суперионных проводников на основе галогенидов  $Cu$  и  $Ag$  [1, 2] не укладывается в рамки существующих теорий [2, 3]. В работах [2, 3] предполагается, что статический дипольный момент элементарной ячейки связан с дефектами. В низкотемпературной  $\beta$ -фазе дефектов мало, однако при температуре  $T_c$  суперионного перехода их концентрация резко возрастает, что влечет за собой резкий аномальный рост диэлектрической восприимчивости. На самом же деле диэлектрический отклик (см., например, [4, 5]), а также результаты метода EXAFS [1, 6]  $\beta$ - и  $\alpha$ -фаз указанных соединений существенно не различаются. Из этого следует вывод, что пространственное распределение и динамика катионов в пределах элементарной ячейки, проявляющиеся в названных экспериментах, в  $\beta$ - и  $\alpha$ -фазах качественно совпадают. Такая картина согласуется с теоретическими представлениями [7] о микроскопической природе суперионного состояния в данных соединениях, по которым для существования суперионного перехода необходимо возникновение экситонной фазы с переносом заряда, тогда как в  $\beta$ -, так и в  $\alpha$ -фазе катион  $O$  движется в пределах элементарной ячейки в двухъядромном потенциале вдоль каждого из направлений  $O_i$ , соединяющих его с ближайшими соседями-анионами  $i$  (рис. 1). Иными словами, для  $\beta$ - и  $\alpha$ -фаз данных соединений характерно существование нецентральных позиций катионов в глубоких и мелких минимумах потенциала, изображенного на рис. 1.

Таким образом, для описания ориентационного (связанного с занятием разных глубоких или мелких ям в многоядромном потенциале) и конфигурационного (связанного с переходом из глубоких ям в мелкие) разупорядочения и его влияния на диэлектрические свойства таких кристаллов необходима существенная модификация ранее предложенных [8-10] термодинамических моделей.

Пусть  $y_i = n_i/N$  и  $Z_i = m_i/N$  есть концентрации катионов в глубоком и мелком минимуме  $i$  соответственно. Здесь  $n_i$  ( $m_i$ ) — полное число катионов в глубоких (мелких) минимумах  $i$ , а  $N$  есть полное число глубоких (или мелких) минимумов во всем кристалле ( $N = tN_k$ , где  $N_k$  — полное число катионов

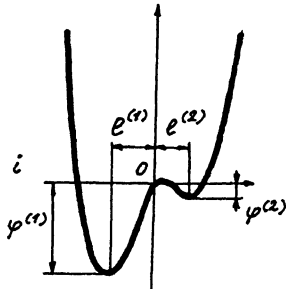


Рис. 1.

в кристалле, а  $t$  – число ближайших соседей). Включение электрического поля  $\vec{E}$  приводит к изменению энергии катиона в минимумах потенциала [11]

$$\tilde{\varphi}^{(s)} = \varphi^{(s)} - \vec{d}_i^{(s)} \vec{E}, \quad \vec{d}_i^{(s)} = e \vec{l}_i^{(s)}, \quad s=1,2; \quad i=1, \dots, t. \quad (1)$$

Записывая энергию и конфигурационную энтропию такой системы, найдем соответствующую свободную энергию  $F$ , откуда обычным образом получим:

$$y_i = A_i y, \quad z_i = B_i z, \quad A_i = a_i / A, \quad B_i = b_i / B, \quad A = \sum_i a_i, \quad B = \sum_i b_i, \\ \alpha_i = \exp(\vec{d}_i^{(1)} \vec{E} / \theta), \quad b_i = \exp(\vec{d}_i^{(2)} \vec{E} / \theta), \quad y = \sum_i y_i, \quad z = \sum_i z_i, \quad \theta = kT. \quad (2)$$

Результат (2) позволяет в свободной энергии  $F$  перейти к концентрации дефектов  $x = z = 1 - y$  и записать ее в виде, пригодном для исследования влияния процессов образования дефектов и ориентационного разупорядочения на диэлектрические свойства кристаллов:

$$f = F/N = f_\theta + f'$$

$$f_\theta = \varphi^{(1)} - \sum_i \vec{d}_i^{(1)} \vec{E} A_i + \theta \left( \sum_i A_i \ln A_i + \ln t \right), \\ f' = (\omega + C)x - \lambda x^2 / 2 + 2\theta \left\{ (1-x) \ln (1-x) + x \ln x + \frac{3}{2} \ln \Gamma \cdot x \right\}, \\ C = - \sum_i (\vec{d}_i^{(2)} B_i - \vec{d}_i^{(1)} A_i) \vec{E} + \theta \sum_i (B_i \ln B_i - A_i \ln A_i), \quad \omega = \varphi^{(2)} - \varphi^{(1)}.$$

В (3) добавлен член прямого взаимодействия между дефектами ( $\lambda > 0$  соответствует притяжению между ними), параметр  $\Gamma$  учитывает изменение частот колебаний при переходе катиона из глубокой ямы в мелкую [8, 9],  $f'$  при  $\vec{E}=0$  принимает известный вид [8].

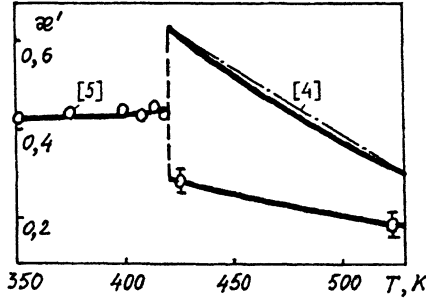


Рис. 2.

Концентрация дефектов, как следует из (3), определяется уравнением

$$x = (1-x)e^{-\alpha} e^{-\beta}, \quad (4)$$

$$\alpha = (\omega - \lambda x + 3\theta \ln T) / 2\theta, \quad \beta = C / 2\theta.$$

Рассмотрим далее векторы

$$\vec{D}^{(S)} = \frac{1}{t} \sum_i \vec{d}_i^{(S)}. \quad (5)$$

В кубических кристаллах векторы  $\vec{D}^{(S)} \equiv 0$ , но в гексагональных фазах твердых электролитов на основе галогенидов меди и серебра векторы  $\vec{D}^{(S)} \neq 0$  и играют роль макроскопических векторов пироэлектрической поляризации [12], рассчитанных на один катион кристалла и ориентированных вдоль с-оси гексагонального кристалла.

Из выражения (3) для свободной энергии системы в электрическом поле с использованием (4) и определения (5) следует анизотропия диэлектрической восприимчивости  $\epsilon = -\frac{4}{\Omega} \frac{d^2 f}{d E^2}|_0$  в гексагональной фазе рассматриваемых твердых электролитов.

$$\epsilon_{||} = \epsilon_K + \epsilon_a, \quad \vec{E} \parallel c\text{-оси}, \quad \epsilon_{\perp} = \epsilon_K, \quad \vec{E} \perp c\text{-оси}, \quad (6)$$

$$\epsilon_K = \frac{4}{3\Omega\theta} \left\{ d^{(1)^2} (1-x_0) + d^{(2)^2} x_0 \right\}, \quad (7)$$

$$\epsilon_a = \frac{4}{\Omega\theta} \left\{ 2d^{(1)} D^{(1)} \left( 1 + \frac{D^{(1)}}{d^{(1)}} \right) (1-x_0) + 2d^{(2)} D^{(2)} \left( 1 + \frac{D^{(2)}}{d^{(2)}} \right) x_0 - D^{(1)^2} (1-x_0) - D^{(2)^2} x_0 + \frac{1}{2} (D^{(2)} - D^{(1)})^2 x_0 (1-x_0) \right\}, \quad (8)$$

где  $\alpha_K$  - восприимчивость кубической фазы,  $\alpha_a$  - вклад анизотропии,  $x_0$  - концентрация дефектов (катионов в мелких ямах) при  $E=0$ ,  $\Omega$  - объем, приходящийся на один катион в кристалле.

Результат (6)-(8) допускает сравнение с экспериментом [4, 5] для  $\beta$ - и  $\alpha$ -фаз  $AgI$ , если учесть обычным образом [13] диэлектрическую релаксацию. Вещественная часть комплексной диэлектрической восприимчивости  $\alpha'(\omega)$  как функция частоты  $\omega$  есть

$$\alpha'(\omega) = \frac{\epsilon'(\omega) - \epsilon_0}{4\pi} = \frac{x'_0 - \sigma\epsilon}{1 + \omega^2\tau^2}. \quad (9)$$

Здесь  $\epsilon'(\omega)$  - экспериментально измеренная диэлектрическая проницаемость, константа  $\epsilon_0$  учитывает статические фононный и электронный вклады в  $\epsilon'$ , тогда  $x'_0$  - статическая ориентационная восприимчивость, определенная формулами (6)-(8),  $\sigma$  - проводимость системы,  $\tau$  - время диэлектрической релаксации.

На рис. 2 приведено сравнение теоретических (сплошные линии) и экспериментальных результатов по температурной зависимости восприимчивости  $\alpha'(\omega)$ . Согласие с экспериментом достигается при сведенных в таблицу значениях микроскопических параметров, входящих в формулы (6)-(9). Поведение концентрации  $x_0$  с температурой определяется формулами (3), (4) ( $E=0$ ) при следующем выборе параметров:  $\lambda/\omega = 1.732$ ,  $\Gamma=0.8$ . При  $y_c = \omega/2\theta_c = 2.5$  в системе происходит фазовый переход 1 рода, когда концентрация дефектов скачком меняется от значения  $X_0(T_c=0)=0.268$  до  $x_0(T_c+0)$ . Так как для  $AgI$   $T_c=420$  К, то параметр  $\omega = 0.181$  эВ (это есть энергия активации дефекта или разность энергий глубокого и мелкого минимумов потенциала на рис. 1). При расчетах было учтено изменение  $\epsilon_0$  и  $\Omega$  с температурой по данным [14] ( $\epsilon_0(T_c+0)$  выбиралось равным 2), фононный вклад в  $\epsilon_0$  не значителен из-за малой плазменной частоты ионов  $Ag^+$ . Для кристалла  $AgI$  анизотропная добавка  $\alpha_a \sim 10^{-3}\alpha_K$ .

Хорошее количественное согласие результатов предложенной модели (3) с экспериментом по диэлектрическим свойствам  $\beta$ - и  $\alpha$ -фаз кристалла  $AgI$  подтверждает высказанные в начале заметки предположения о нецентральных позициях катионов в элементарной ячейке и, следовательно, является косвенным свидетельством в пользу существования экситонной фазы с переносом заряда [7] в таких соединениях. Это существенно для понимания и описания разнообразных физических свойств этого класса твердых суперионных материалов.

Автор признателен В. Н. Бондареву за плодотворные обсуждения.

	$\beta$ -фаза	$\alpha$ -фаза	
	[5]	[4]	[5]
$\epsilon^{(1)} (10^{-8} \text{ см})$	0.195	0.322	0.266
$\epsilon^{(2)} (10^{-8} \text{ см})$	0.333	0.343	0.242
$\tau (10^{-13} \text{ с})$	1	2.5	1

# Список литературы

- [1] Physics of Superionic Conductors./Ed. by M.B. Salamon. Springer-Verlag: Berlin-Heidelberg-New York, 1979.
- [2] Урbonавичюс В.В., Шнейдер В.Е., Григас И.П., Давидович Р.Л. // ЖЭТФ. 1982. Т. 83. № 1. С. 275-283.
- [3] Лидоренко Н.С., Зильберварт В.Е., Нагаев Э.Л. // ЖЭТФ. 1980. Т. 78. № 1. С. 180-188.
- [4] Roemer H., Luther G. // Ferroelectrics 1981. V. 38. N 1/4. P. 919-924.
- [5] Volkov A.A., Kozlov G.V., Mirzoyants G.I., Petzelt J. // Jap. J. Appl. Phys. 1985. V. 24. Suppl. 24-2. P. 531-533.
- [6] Boorse J.B., Hieberman B.A. // Phys. Rep. 1979. V. 51. N 4. P. 189-265.
- [7] Федорин В.А. // ФТТ. 1988. Т. 30. № 1. С. 140-148.
- [8] Hieberman B.A. // Phys. Rev. Lett. 1974. V. 32. N 18. P. 1000-1002.
- [9] Гуревич Ю.Я. // ДАН СССР. 1975. Т. 222. № 1. С. 143-146.
- [10] Бондарев В.Н., Костенко В.М. // ФТТ. 1983. Т. 25. № 8. С. 2449-2455.
- [11] Харкап Ю.И. // ФТТ. 1981. Т. 23. № 7. С. 2190-2192.
- [12] Landau L.D., Lifshits E.M. Электродинамика сплошных сред. М.: Наука, 1982. 624 с.
- [13] Elliott S.R. // Advances in Physics. 1987. V. 36. N 2. P. 135-218.
- [14] Goldmann A. // Phys. Stat. Sol. B. 1977. V. 81. N 1. P. 9-47.

Научно-исследовательский  
институт физики  
Одесского государственного  
университета им. И.И. Мечникова

Поступило в Редакцию  
22 ноября 1991 г.